• 短篇报道 •

儿童多中心浆细胞型Castleman病1例报告

黄科峰 金文义 周怡*方晓熠 邓辉 王燕 宋君 张楠 芦丹

联勤保障部队第九九一医院放射科 (湖北襄阳 441003)

【关键词】浆细胞型; Castleman病; 多中心; 儿童

【中图分类号】R322.2+5 【文献标识码】D

DOI:10.3969/j.issn.1672-5131.2024.01.057

Multicentric Plasma Cell Type Castleman's Disease in A Child: A Case Report

HUANG Ke-feng, JIN Wen-yi, ZHOU Yi^{*}, FANG Xiao-yi, DENG Hui, WANG Yan, SONG Jun, ZHANG Nan, LU Dan. Department of Radiology, 991st Hospital of Joint Logistic Support Force, Xiangyang 441003, Hubei Province, China

Keywords: Plasma Cell Type; Castleman's Disease; Muticentric; Child

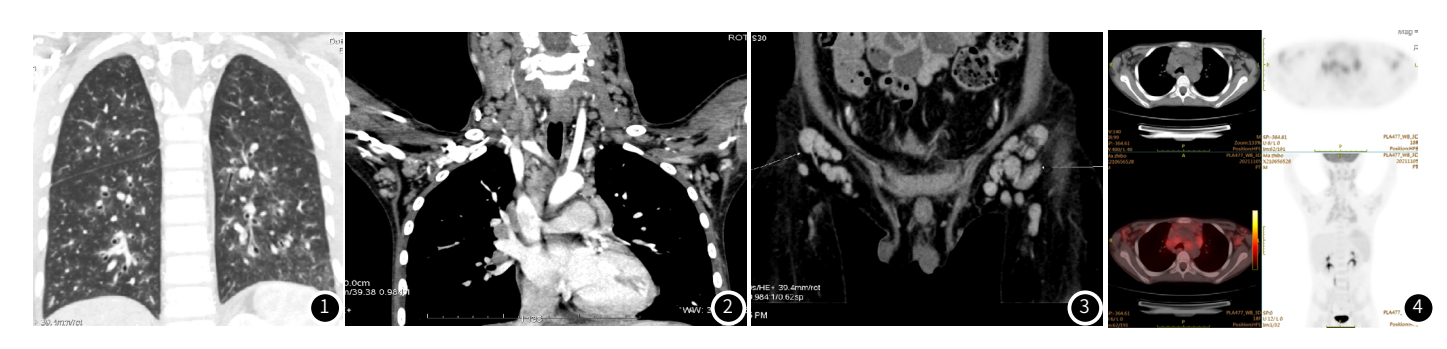
Castleman病又称巨大淋巴结增生,也有称血管滤泡性淋巴组织增生,是一组主要累犯淋巴结的异质性增生性疾病,病理类型包括:透明血管型、浆细胞型、混合型。临床分两型:单中心型及多中心型。本病多见于中年患者,以单中心玻璃样血管型最多见,本文报告一例为儿童多中心浆细胞型,非常少见。

1 临床资料

患儿为11岁男童,慢性病程。临床以发热、淋巴结肿大为主要表现,病程1年余,期间体温正常六个月,无皮疹、无关节肿痛,CRP波动于100-274mg/L,寄生虫全套、免疫相关、结核、EB病毒均为阴性,骨穿细胞学、腰穿均未见异常,予抗感染治疗、甲泼尼龙抗炎、丙种球蛋白免疫支持,效果均欠佳。既往史:既往无反复发热、感染病史。查体:神清,精神可,贫血貌,呼吸平稳,璧山及三凹征阴性,口周无发绀,皮肤黏膜、空域,吸侧颌下、颈部、腋窝下可触及数个绿豆大小肿大淋巴皮疹,双侧颌下、颈部、腋窝下可触及数个绿豆大小肿大淋巴皮疹,双侧颌下、颈部、腋窝下可触及数个绿豆大小肿大淋巴皮疹,双侧颌下、颈部、腋窝下可触及数个绿豆大小肿大,风皮疹,双侧颌下、颈部、腋窝下可触及数个绿豆大小肿大,之后,大疤(-)。鼻粘膜苍白水肿,咽充血,双侧扁桃体二度肿大,未见脓性分泌物。浅表淋巴结未触及肿大。双肺呼吸音粗,未见下湿性啰音。心音有力,律齐,各瓣膜听诊区未闻及杂音。腹软,无压痛,反跳痛,肝脾肋下未触及。神经系统查体未见异常。四肢末梢暖。辅助检查:CPR:186~221mg/L;脑脊炎是、常规、生化、细菌涂片及抗酸染色阴性;骨髓细胞学提

示增生性贫血;疟原虫检查阴性;PPD检查阴性;感染标志物8项阴性;结核及EB病毒阴性;双侧上下肢血管、双肾及肾上腺血管超声未见异常;血常规:白细胞8.36× 10^9 /L,中性粒细胞绝对值5.71× 10^9 /L,淋巴细胞绝对数1.75× 10^9 /L,血红蛋白72g/L,血小板计数428× 10^9 /L,CRP241mg/L;红细胞沉降率119mm/h个;类风湿因子未见升高;EB病毒核心抗原IgG>600IU/mL,EB病毒核酸(细胞内)504copies/mL个;抗核抗体1:100阳性(+),ANCA未见明显异常;免疫球蛋白G24.8g/L个,免疫球蛋白A4.07g/L个,免疫球蛋白M3.52g/L个,免疫球蛋白E3300g/L个;补体C31.68g/L个,补体C40.42g/L个;胸腹部增强CT提示双肺多发斑片状模糊阴影,纵隔、双肺门、双侧腋下及双侧腹股沟多发淋巴结肿大,未见干酪样坏死,未见融合(图1-3);PET-CT检查提示(图4)全身多发淋巴结肿大,轻度异常放射性摄取。影像学诊断:多系统结节病,不排除淋巴瘤等肿瘤性病变。

病理诊断: (颌下淋巴结)淋巴结内淋巴组织增生,滤泡增生,可见较多浆细胞,符合浆细胞型castleman病样改变。免疫组化: CD3(+),CD23(滤泡树突网+),CD38(+),CD138(+),CD20(+),Bcl-2(+),CD34(血管+),CD79α(+),KP-1(+),CD45Ro(+)。特殊染色: 六胺银(-)。瑞氏染色(-)。原位杂交: EBER ISH(-)。



- 图1 双肺多发斑片状模糊阴影。
- 图2 双侧颈部、腋下,双肺门及纵隔多发淋巴结肿大,密度均匀,未见融合。
- 图3 双侧腹股沟多发淋巴结肿大,密度均匀,未见融合,轻度强化。
- 图4 PET-CT提示全身多发淋巴结肿大,轻度异常放射性摄取。

(下转第186页)

2 讨 论

神经鞘瘤是由雪旺细胞组成的肿瘤病变,故又称雪旺细胞瘤,神经鞘瘤好发于颅神经及脊神经根,起源于周围神经的神经鞘瘤较少见,多以四肢软组织及颈部为主,发生于盆腔腹膜后者则更为罕见,仅占1%^[1]。神经鞘瘤绝大多数都是良性,早期通常无症状,很难被发现,当肿瘤增大,压迫邻近器官产生相应临床症状后而被发现。神经鞘瘤常见于20至50岁的患者,男女均可发生。

Klimo等认为^[2],骶骨神经鞘瘤可细分为三型: I型肿瘤局限 于骶骨; II型起源于骶骨,但肿瘤扩张到骶骨前或皮下间隙; III 型位于盆腔或腹膜后。我们的病例表现为盆腔巨大肿块,应属于 Klimo Ⅲ型。原发性腹部或盆腔神经鞘瘤常位于骶前区或腹膜后 下部及盆腔边缘,影像学通常表现为边缘光滑类球形肿块,病灶 通常较大,血供丰富,瘤体内多可见液化、坏死区,部分肿瘤内 可见钙化; MRI表现为T₁WI(与邻近肌肉相比)呈等信号、T₂WI高 信号,信号通常不均匀,增强扫描病灶呈明显不均匀强化^[3]。由 于肿瘤通常较大且容易出现液化坏死,术前容易误诊为盆腔恶性 肿瘤(如脂肪肉瘤、平滑肌肉瘤等),盆腔恶性肿瘤体积也较大, 液化、坏死亦常见,但这些恶性肿瘤边界通常不清楚,易侵犯周 围脏器和发生远处转移,而盆腔神经鞘瘤绝大多数为良性,对周 围结构常表现为推挤、压迫,不会发生远处转移,神经鞘瘤容易 延伸至骶椎孔内而导致骶椎孔扩大,通常不会导致骶椎骨质破 坏,而盆腔恶性肿瘤侵犯骶椎常会引起骶椎骨质破坏,这也有助 于神经鞘瘤与盆腔恶性肿瘤的鉴别。如果神经鞘瘤发生恶变则很 难与其他恶性肿瘤鉴别,需要依赖病理学检查。

盆腔神经鞘瘤影像表现具有一定特征,CT和MRI检查对诊断本病有较高的价值,但确诊本病的金标准是组织病理学特征结合免疫组化指标。内镜下典型神经鞘瘤有AntoniA区和AntoniB区

交替结构。Antoni A区肿瘤细胞排列呈旋涡状或栅栏状,血供丰富,在CT上表现为较高密度的实性区域;MRI表现为 T_1 WI中等信号, T_2 WI较高信号,MRI增强扫描呈中度以上强化;antoni B区肿瘤细胞较稀疏,呈网状排列,基质含水量较高,在CT上表现为低密度液化、坏死区,增强扫描强化不明显^[4]。神经鞘瘤特征性免疫组化指标是S-100呈强阳性,CD-34为阴性也提示本病诊断。手术是治疗本病的首选方法,通常建议对肿块进行整块根治性切除,腹腔镜下肿瘤切除通常适用于体积较小的肿瘤,由于大多数是良性肿瘤,通常不需要进行术后化疗或放疗,预后通常良好。

综上,我们报道了1例老年男性盆腔巨大神经鞘瘤,表现为盆腔巨大肿块,边界清楚,延伸至左侧骶孔内,肿瘤内多发囊变区,增强扫描明显不均匀强化,周围未见肿大淋巴结,为盆腔神经鞘瘤比较典型的影像学表现,但如果缺乏对本病的了解容易误诊。本病的首选治疗方法是手术切除,预后通常良好,术后复发率低。

参考文献

- [1]付汪星,程敬亮.盆腔巨大神经鞘瘤误诊为卵巢肿瘤1例[J].中国医学影像技术,2014,30(05):702.
- [2] Klimo P Jr, Rao G, Schmidt RH, et al. Nerve sheath tumors involving the sacrum [J]. Case report and classification scheme. Neurosurg Focus, 2003; 15 (12): 1-6.
- [3] Hughes M J, Thomas J M, Fisher C, et al. Imaging features of retroperitoneal and pelvic schwannomas[J]. Clinical radiology, 2005, 60(8): 886-893.
- [4] 肖日国, 吴佩红, 许晓杰. CT及MRI在神经鞘瘤诊治中应用研究[J]. 中国CT和MRI杂志, 2016, 14(10): 133-136.

(收稿日期: 2022-12-19) (校对编辑: 韩敏求)

(上接第182页)

2 讨 论

Castleman病少见,是一种非典型淋巴结增生疾病,Castleman等^[1]在1956年首先报道,其中浆细胞型系Keller等^[2]在1972年首先报道。Gaba和Frizzera分别于1978年和1985年报道本病临床分为单中心型和多中心型^[3],本病例为多中心浆细胞型。Castleman病可任何年龄发病,中年较多,平均年龄 (23.0 ± 2.8) 岁^[4],该例为11岁儿童。

病理分型为透明血管型、浆细胞型、混合型,以透明血管型较多,占80%-90%,浆细胞型较少^[5]。透明血管型大多为单中心型,约占90%,主要表现孤立的淋巴结肿大,患者一般症状不明显,如果发生于肺门及纵隔,常表现为咳嗽及胸痛,有的患者有咳血症状。浆细胞型多为中心型,约占90%,全身均可发病,以腹膜后及肠系膜淋巴结肿大最常见,侵袭性较强,极易恶变,可发展为恶性肿瘤,如kaposi肉瘤、淋巴瘤^[6-10],患者常伴有发热、脾大、贫血等症状。本病例特征为长期发热,慢性病容,贫血,全身表浅淋巴结和纵隔肺门淋巴结肿大,腹膜后及肠系膜未见明显肿大淋巴结。影像学诊断较难,需要与淋巴瘤、多系统结节病等鉴别,该病例最后淋巴结穿刺病理确诊。多中心浆细胞型Castleman病预后差,目前尚无标准化治疗方案。

参考文献

[1] Castleman B, Lverson L, Menendez VP. Localized mediastinal lymph-node huperplasia resembling thymoma [J]. Cancer, 1956, 9 (4): 822-830.

- [2] Keller AR, Hochholzer L, Castleman B. Hyaline-vascular and plasm-cell types of giant lymph node hyperplasia of the mediastinum and other locations [J]. Cancer, 1972, 29 (3): 670-683.
- [3]赵晓红. 浆细胞型巨大淋巴结增生症[J]. 罕少疾病杂志, 2003, 10(1): 13-14.
- [4] 刘金全, 文海忠, 朱志嫦, 等. 巨淋巴结增生症的CT诊断价值[J]. 中国医药指南, 2015, 13(20): 226-227.
- [5] 刘文辉, 张忠云, 梁月有, 等. 腹膜后局灶型巨淋巴结增生症分析[J]. 新医学, 2011, 42(4): 253-256.
- [6] Kazakov D V, Morrisson C, Plaza J A, et al. Sarcoma arising in hyaline-vascular Castleman disease of skin and subcutis [J]. Am J Dermatopayh, 2005, 27 (4): 327-332.
- [7]Oksenhendler E, Duarte M, Soulier J, et al. Multicentric Castleman's disease in HIV infaction: a clinical and pathologic al study of 20 patients [J]. AIDS, 1996, 10(1):61-67.
- [8] Abdei Reheim F A, Koss W, Rappaport E S, et al. Coexistence of Hodgkin's disease and giant lymph node hyperplasia of the plasma-cell type (Castleman's disease) [J]. Arch pathol Lab Med, 1996, 120(1):91-96.
- [9] Larroche C, Cacoub P, Soulier J, et al. Castleman's disease and lymphoma: report of eight cases in HIV-negative patients and literature review[J]. Am J Hematol, 2002, 69 (2):119-126.
- [10] Soulier J, Grollet L, Oksenhendler E, et al. Kaposis sarcoma-associated herpesvirus-like dna-sequences in multicentric Castlemans disease[J]. Blood, 1995, 86 (4): 1276-1280.

(收稿日期: 2023-02-23) (校对编辑: 韩敏求)